

## شرایط تشکیل بلورهای پیروکسن زونینگ دار در دایک های آندزیتی نیمه قلیایی روستای حسن آباد یزد - جنوب باختر تفت

سمیرا زندی فر<sup>۱</sup>، محمدولی ولیزاده<sup>۱</sup>، محمدعلی برقی<sup>۱</sup>، محمدرضا فروودی جهرمی<sup>۲</sup>

دانشکده زمین‌شناسی، پردیس علوم، دانشگاه تهران، تهران، ایران.

<sup>۲</sup> گروه زمین‌شناسی، دانشگاه آزاد اسلامی، واحد علوم و تحقیقات، تهران، ایران

تاریخ پذیرش: ۱۳۸۸/۰۴/۰۶ تاریخ دریافت: ۱۳۸۷/۰۸/۱۵

حکیمہ

در باختر و شمال باختر روستای حسن آباد یزد دایک های بزرگی از آندرزیت های نیمه قلایی در دیوریت ها، گرانودیوریت ها و کوارتزدیوریت ها دیده می شود. بلورهای کلینوپیروکسن درشت این سنگ ها منطقه بندی (زونینگ) تقریباً واضحی را نشان می دهند. ترکیب کلینوپیروکسن های دانه ریز زمینه در این سنگ ها مشابه حاشیه کلینوپیروکسن های زونینگ دار است. نتایج حاصل از تجزیه های نقطه ای کلینوپیروکسن ها توسط میکروسکوپ الکترونی روبشی (SEM) از مرکز به سمت حاشیه نشان داد که کلینوپیروکسن ها دارای ترکیبی از دیوپسید کروم دار، سالیت-فروساالت و تیتان اوژیت هستند. منطقه بندی این بلورها در هنگام رشد کانی به وجود آمده است. اعتقاد بر این است که در منطقه بندی این کلینوپیروکسن ها تاریخچه پیچیده ای از شروع و خاتمه تفرقی، آمیختن به وسیله آمیختگی ماگمای، وجود و نبود تنشست های فشار بالا ثبت شده است. منشأ بلورهای سالیت و فروساالت در دایک های آندرزیتی حسن آباد احتمالاً از سنگ های دیواره گوشته بالایی در نظر گرفته می شود.

**کلیدواژه‌ها:** کلینوپیر و کسن، دایک‌های آندزیتی، منطقه‌بندی، حسن آباد بیزد.

نہ سندھ مسٹریا : سمیا زندی ف

مقدمه - ۱

(Jankovic, 1984). این منطقه به شدت تکونیزه بوده و کلیه واحدهای سنگی آن جابه‌جا شده‌اند. این فعالیت به علت قرارگیری آن در یک زون گسلی بین گسل اصلی دهشیر- بافت و گسل توران پشت- شمسآباد که یکی از گسل‌های فرعی و منشعب از آن است، بیش از مناطق مجاور است. این پیکره گسلی متأثر از آخرین رخداد زمین‌ساختی آلپ بوده که پیامد آن فعالیت آتشفشاری گنبدهای آتشفشاری است (دهقان‌مشتادی، ۱۳۷۹). قدیمی‌ترین سنگ‌هایی که در این منطقه رخمنون دارند مربوط به کرتاسه (آهک سازند تفت) بوده و جوان‌ترین سنگ‌ها را آبرفت‌ها و همچنین تراویر تن‌های عهد حاضر که هم‌اکنون نیز از چشم‌های تراورتن‌ساز در حال نهیشه شدن است تشكیلا می‌دهند (شکل، ۱-۸).

توالی رسویی مژوزوییک به وسیله کنگلومرا (کنگلومرا کرمان) و سنجک‌های آشیفانی - رسویی اثوس پوشیده می‌شود (Zaravandi and Liaghat, 2005). نهشته‌های میوسن با رسوبات مارن و ماسه‌سنگ ریزدانه با رنگ عمومی ارغوانی آغاز می‌شود. پایان بخش رسوبات میوسن در ناحیه مورد بررسی، لایه‌های ماسه‌سنگ و کنگلومرا به رنگ خاکستری تیره است.

سنگ‌های آذرین گسترش وسیعی در منطقه مورد مطالعه دارند. سنگ‌های بیرونی شامل داسیت و آنذیزیت و سنگ‌های درونی دارای طیف ترکیبی شامل دبورت، دبورت کوارتزیت و گراندیور است.

اسکارن حسن آباد در اثر نفوذ توده دیوریتی مربوط به نوار ارومیه- دختر در آهک های کرتاسه ایجاد شده است (شکل ۲). این نوار ماگمایی- متالوژنیک موازی نوار چین خوردگی- برخوردی زاگرس است که در شمال خاوری این زون گسلی قرار دارد. پلوتونیک، آتشفسان و کانی زایی مرتب با آن در نتیجه فروزانش در نوار برخوردی زاگرس ایجاد شده است (Berberian and King, 1981) (شکل ۱-۶).

نتیجه دگر گونی مجاورتی این آهک ها پیدایش چهار زون دگر گونی است (زنندی، فر، ۱۳۸۶)، که به ترتیب از مجاور، همسری با توده نفوذی به سمت سنگ های میان عبارتند.

از: ۱- زون ولاستونیت- گارنت (شامل مجموعه کانی های ولاستونیت، گارنت، دیپسید، کلیتونیت، کلسیت)، ۲- زون ولاستونیت- دیپسید (شامل مجموعه

مطالعه ترکیب شیمیایی زوینینگ کانی های کلینوپیر و کسن، به منظور تعیین و بررسی چگونگی تشکیل آنها همزمان با ظهور میکرو و سکوب الکترونی، یعنی از اوایل دهه ۷۰ میلادی آغاز شد. پیش از این زمان، بررسی ساختمندانه ای تها از طریق مطالعه رنگ کانی ها امکان پذیر بود (Atherton and Edmunds, 1966; Chinner, 1962).

در سنگ های آندزیت نیمه قلایابی اطراف روستای حسن آباد یزد، پیر و کسن ها اغلب شامل کلینوپیر و کسن هایی با مشنا گوناگون هستند. کانی های یادشده به صورت بلورهای بیگانه (Xenocrysts)، درشت بلورهای (Megacrysts) مجزا یا به صورت درشت بلورهای زونه دیده می شوند که اطلاعاتی در رابطه با تحول ماگماهی میزان را فراهم می آورند. در میان این کانی ها، بویژه پیر و کسن های درشت بلور سبز و زوینینگ دار مشخصتر هستند که غنی از آهن بوده و نمی توانند با ماگماهای میزان غنی از منیزیم اولیه در هیچ فشاری در تعادل باشند. این پیر و کسن ها به طور گسترده از منشأهای مختلف در دنیا گزارش شده اند (Barton et al., 1982; Lloyd, 1981; Wass, 1979).

در دیوریت ها و آندزیت های اطراف روستای حسن آباد (Brooks and Printzlau, 1978) پیر و کسن های به شدت زونه اغلب با هسته سبز یا رنگ وجود دارند (کلینوپیر و کسن با هسته سبز مربوط به اگرواسکارن های درون دیوریت ها است که تعدادشان بسیار کم است). زوینینگ بلورهای پیر و کسن در سنگ های آذرین در اثر فرایندهایی مانند هضم بیگانه سنگ (Zinolite) (Gamble and Taylor, 1980)، اثرات جنبشی (عدم تعادل) (Dessai et al., 1990; Dobosi, 1986; Downes, 1989)، تغییرات فوگاسیته اکسیژن (Larsen, 1981)، تبلور فازهای دیگر (Brooks and Rucklidge, 1973; Segalstad, 1979)، (Tracy and Robinson 1977)، تفریق چند فشاری (Duda and Schminke, 1985) و آمیختگی ماگماهی (Kouehi et al., 1983; Liotard et al., 1988) ایجاد می شود.

در این نوشان، زوینینگ پیر و کسن در دابک های آندزیت، حسن آباد بررسی می شود.

#### ۲- موقعته مناسب، منطقه حسن آناد

منطقه مورد مطالعه در فاصله ۸۰ کیلومتری جنوب باختری شهرستان تفت و بر روی نوار مگما تیسم سنوزوییک ایران مرکزی مشهور به ارومیه-دختر واقع شده است

منیزیم آنها بین ۰/۴۸ تا ۰/۴۰٪ تغییر می کند. بنابراین سالیت و فروسالیت آهن دارترین پیروکسن های مورد مطالعه هستند. نسبت  $\text{Fe}^{3+}/\text{Fe}_{\text{total}}$  کمتر از ۰/۲۱٪ می باشد. مقدار  $\text{Al}_2\text{O}_3$  و  $\text{TiO}_2$  "معمولًا" کم است (به ترتیب ۰/۳۹-۱/۴۰٪ و ۰/۱۶-۰/۳۱٪) مقدار  $\text{Na}_2\text{O}$  به طور متوسط حدود ۱ درصد وزنی می باشد.

### ۳-۳. تیتان اوژیت

محدوده مقدار منیزیم از -۰/۷۰٪ و مقدار  $\text{TiO}_2$  و  $\text{Al}_2\text{O}_3$  به ترتیب ۰/۸۵٪ و ۰/۱۳-۱/۳۲٪ است. مقدار  $\text{Ti}$  و  $\text{Al}$  با یکدیگر تغییر می کنند (شکل ۷) و هر دو با غنی شدنگی آهن، افزایش می یابند. منحنی پرشیب تیتان اوژیت (شکل ۸) از ویژگی های تفیریق کلینوپیروکسن در سنگ های مافیک آلکالی است (Tracy and Robinson, 1977).

## ۴- بحث

این ترکیبات زوینینگ نوسانی را نشان می دهند که نتیجه تبلور نامتعادل است. (Wass, 1973) پراکنده  $\text{Al}$  بین محلهای اکتاهدرال و تتراهدرال، ویژگی های  $\text{Na}$  و  $\text{Ti}$  دلایلی بر این مطلب هستند که پیروکسن های بی رنگ خاکستری تیره تا روشن و منطقه مورد مطالعه به طور مشخص در فشاری بیشتر از حاشیه های تیتان اوژیت دارند. قوههای ایجاد شده اند. نظریه آمیختگی ماقمایی به عنوان یکی از دلایل زوینینگ در پیروکسن ها توسط (Atherton & Edmunds, 1966); Brooks & Rucklidge (1973) و گزارش شده است. حالت خوردگی در فنوکریست های پیروکسن منطقه که ساخت زونه بلور را قطع می کند (شکل ۴-۴d)، می تواند دلیلی بر آمیختگی و عدم تعادل شیمیایی پیروکسن های یاد شده باشد. این بلورها نمی توانند با ماقمایی میزان مافیک شان در تعادل بوده و این چنین استنباط می شود که آنها از یک مذاب در معرض تفریق جزء به جزء شده ای که بعداً با ماقمای مافیک مخلوط شده است. مبتلور شده اند. این آمیختگی می تواند در گوشته یا در مخزن پوسته ای اتفاق بیافتد (Atherton & Edmunds, 1966; Brooks & Rucklidge, 1973). در مدل ارائه شده (Atherton & Edmunds, 1966; Brooks & Rucklidge, 1973) توسط Duda and Schminke (1985) برای بازالت های ایفل، ماقمایی مافیک بالا آمده در نزدیک مرز پوسته و گوشته تفریق پیدا می کند و مذاب مشتق شده دارای درشت بلورهای پیروکسن سبز رنگ است که با تیپ های جدیدی از ماقمایی اولیه مخلوط شده است. یک مدل مشابه را می توان برای منشأ کلینوپیروکسن های دایکهای آندزیتی حسن آباد به کار برد، به طوری که مذاب های آناتکیک در سنگ های دیواره محفظه های ماقمای پوسته زرف تشکیل و نمی توانند خارج شوند. ژرفای تبلور این بلورها مشخص نیست اما ترکیب تیتان اوژیت های اطراف، بیانگر این مطلب است که آنها در ژرفاهای زیاد پوسته مبتلور می شوند ("احتمالاً" نه در ژرفاهای بیشتر از مرز پوسته و گوشته) (Onuma et al., 1981). تأثیر تفریق چند فشاری و آمیختگی ماقمایی در تشکیل زوینینگ این پیروکسن ها دو عاملی هستند که جدا کردن آنها از هم دیگر مشکل است، به طوری که حفظ تهنشست های فشار بالا می تواند یک اثر ترکیبی مشابه آمیختگی با یک ماقمای اولیه داشته باشد.

## ۵- نتیجه گیری

تجزیه نقطه ای SEM کلینوپیروکسن های منطقه نشان می دهد که کلینوپیروکسن ها از مرکز به سمت حاشیه ناهمگن و دارای زون بندي نوسانی هستند و مرز بین زون ها ناگهانی است که این موضوع نشان دهنده تغییرات ناگهانی در ترکیب شیمیایی مواد تشکیل دهنده است. بنابراین زوینینگ موجود در هنگام رشد کانی به وجود آمده است. کلینوپیروکسن های زوینینگدار دایکهای آندزیتی حسن آباد بیانگر مدل تکاملی پیچیده ای است که آمیختگی ماقمایی در ژرف نقش مهمی را ایفا می کند.

کانی های ولستونیت + دیوپسید + گارنت + وزوویانیت + کلسیت + کلیپتونیت + مارگاریت؛ ۳- زون وزوویانیت - دیوپسید (شامل مجموعه کانی های وزوویانیت + دیوپسید + گارنت + کلسیت + اپیدوت + ترمولیت)؛ ۴- زون کلسیت - اپیدوت (شامل مجموعه کانی های وزوویانیت + اپیدوت + کلسیت + گارنت).

در قسمت باختر و شمال باختر روستای حسن آباد دایکهای بزرگی با ترکیب آندزیت در دیوریت ها، کوارتز دیوریت ها و گرانودیوریت ها دیده می شود. این دایک ها غالباً دروند SW-NE بوده و به رنگ خاکستری تیره تا روشن و گاهی به رنگ خاکستری مایل به قهوه ای دیده می شوند. این دایک ها به طول و عرض تقریبی بیست و پنج در سه متر، توده نفوذی منطقه را قطع نموده است (شکل ۳). پلازیو کلاز، آمفیبول، پیروکسن به میزان کمتر آپاتیت، زیرکن و اسفن اجزای این سنگ ها را تشکیل می دهند.

## ۳- شیمی پیروکسن

درشت بلورهای کلینوپیروکسن در دایک های آندزیتی حسن آباد "معمولًا" بلورهای بی شکل (انهدرال)، قهوه ای کمرنگ متمایل به سبز بزرگ تر از ۳۰۰ میکرون هستند. رنگ آنها به سمت حاشیه تیره تر می شود و زوینینگ هم مرکز، منقطع یا نوسانی را نشان می دهد (شکل ۴).

تجزیه نقطه ای به وسیله دستگاه میکروسکوپ الکترونی روبشی (SEM) Vega IR VG2080573 در مرکز متالوژی رازی روی یک نمونه از کلینوپیروکسن های زونه در دایک های آندزیتی اطراف حسن آباد انجام شده است (شکل ۴- b و جدول ۱). ترکیب کلی کلینوپیروکسن های مورده مطالعه در نمودار J-Q (Morimoto et al., 1988) بدون در نظر گرفتن نوع پیروکسن مشخص شده و همگی در محدوده پیروکسن های کلسیم- منیزیم - آهن دار قرار می گیرند (شکل ۵) و به علت کمبود سدیم همگی در نزدیک محور Y مجتمع می شوند. از نمودار سه تابی (Huckenholz et al., 1974) Di-Hd+(Ac)-Ts کلینوپیروکسن ها استفاده شده است (شکل ۶). این شکل محدوده ترکیبی درشت بلور پیروکسن را در هفت نقطه نشان می دهد. این تحقیقات نشان می دهد که ترکیب پیروکسن های زمینه (شکل ۴-۴d) در سنگ های نیمه قلیابی شبیه حاشیه درشت بلورهای تحول یافته است. مطابق شکل ۶ بلور پیروکسن تجزیه شده در محدوده ترکیبی پیروکسن های غنی از کلسیم و پیروکسن های کلسیم- سدیم دار دیده می شود. پیروکسن تجزیه شده با طول ۴ mm در آندزیت حسن آباد مشخص کننده هسته بی رنگ بی شکل و حاشیه قهوه ای کمرنگ است. با استفاده از مشاهدات میکروسکوپی و تجزیه های پروپ، سه گروه پیروکسن را می توان شناسایی کرد. این بلور زونه از مرکز به سمت حاشیه ترکیب نوسانی به صورت: ۱- دیوپسید کروم دار (Chrome-diopsides) (بی رنگ)، ۲- سالیت- فروسالیت (Salites-ferrosalites) (سبز چمنی)، ۳- تیتان اوژیت (Titanaugite) (بی رنگ تا قهوه ای روشن) را نشان می دهد.

## ۳-۱. دیوپسید کروم دار

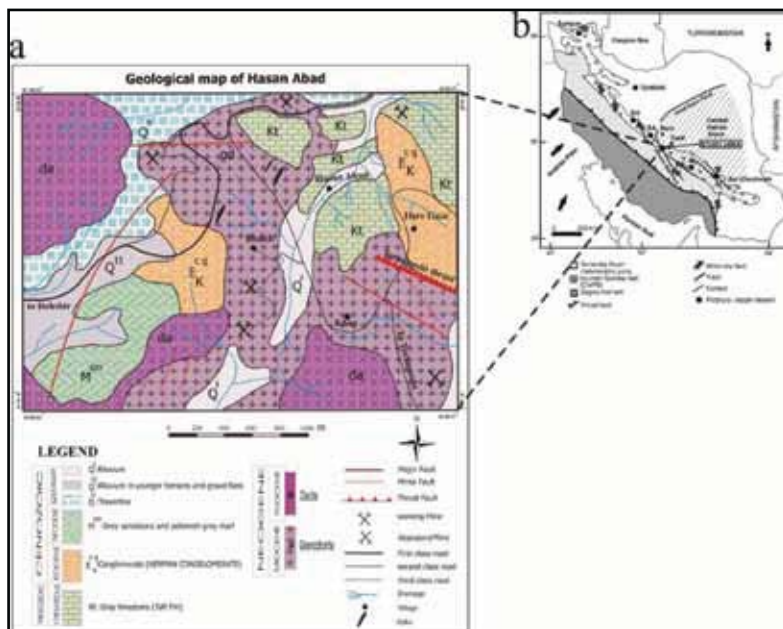
درشت بلورهای بی شکل و بی رنگ هستند. کلینوپیروکسن های موجود در دیوریت ها و همچنین اسکارن های این منطقه از همین نوع هستند. ترکیب دیوپسیدهای کروم دار بین یک مقدار نسبتاً "محدود" تغییر می کند. آنها منیزیم دار ترین پیروکسن های مورد مطالعه هستند. مقدار منیزیم آنها بین ۰/۹۱ تا ۰/۹۳٪ تغییر می کند. مقدار  $\text{TiO}_2$  کم است (کمتر از ۰/۵ درصد وزنی) و مقدار  $\text{Cr}_2\text{O}_3$  از ۰/۸۴ تا ۱/۳۵٪ درصد وزنی است.

## ۳-۲. سالیت- فروسالیت

درشت بلورهای سبز کم رنگ تا چمنی می باشند که گروه مشخصی را در تمام نمودارها می سازند (شکل ۶، ۷، ۸) که منشأ بیگانه بلور آنها را تأیید می کنند. مقدار

در ایجاد زوینینگ پیروکسن‌های منطقه مورد مطالعه کمک می‌کنند. منشأ بلورهای سالیت و فروساولیت آندزیت‌های حسن‌آباد تقریباً "از سنگ‌های دیواره گوشته بالایی غیر عادی در نظر گرفته‌می‌شوند.

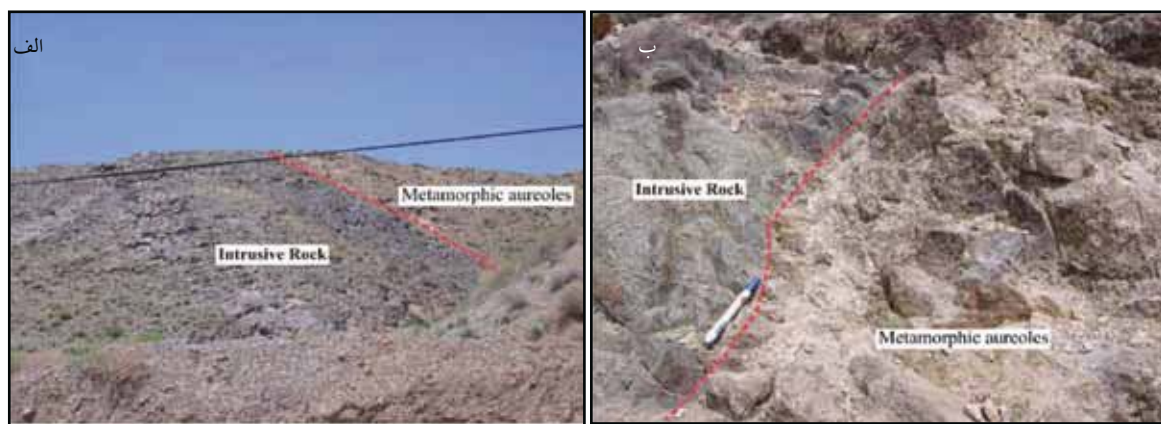
ماگمای بازالت قلیابی در طول بالا آمدن با یک مذاب تفریق شده‌ای که از آهن غنی است و دارای بلورهای تیتان اوزیت است، مخلوط می‌شود. در کل دوره‌های پایان و شروع تفریق ماگما (stop-start magmatic differentiation) در سطوح مختلف پوسته، آمیختگی ماگمایی و اثرات جنبشی (عدم تعادل)، همگی به طور قابل توجهی



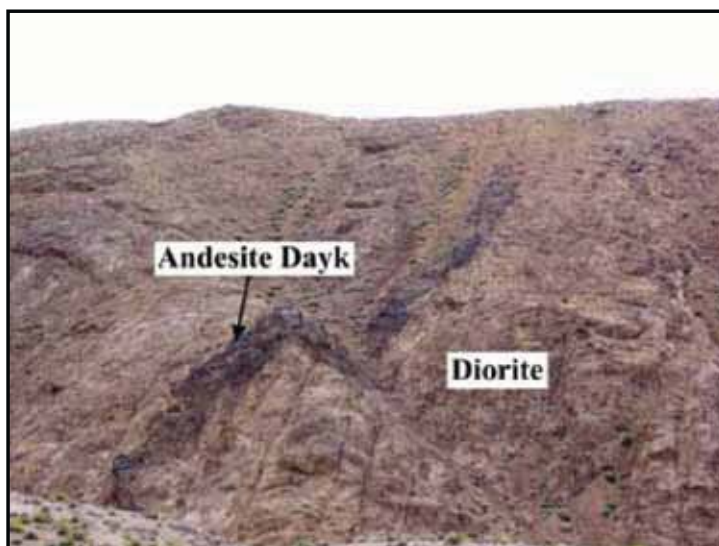
شکل ۱- a) نقشه زمین‌شناسی منطقه مورد مطالعه در جنوب باختری شهرستان بیزد. b) نقشه راهنمای موقعیت منطقه مورد مطالعه در زون ارومیه- دختر و زون‌های زمین‌ساختی اصلی ایران. M: نهشته‌های مس پورفیری میدوک. SA: بخش جنوبی نهشته‌های پورفیری اردستان. SH: نهشته‌های مس پورفیری شریف‌آباد (قسمت b بر گرفته از: .(Zaravandi and Liaghat, 2005

جدول ۴- نتایج تجزیه الکترون میکروپرتوپ از بلور پیروکسن مربوط به شکل ۴- b (نوع پیروکسن هر نقطه تجزیه شده بر اساس شماره‌های شکل ۴- b در بالای ستون‌ها آورده شده است).

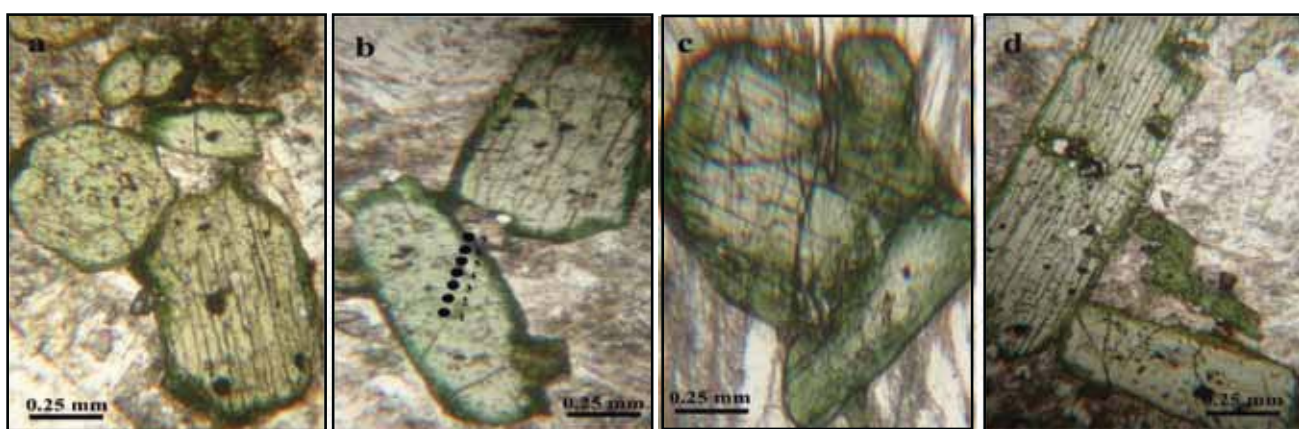
Sample.n	Sz1.Di	Sz2.Sa	Sz3.Au	Sz4.Au	Sz5.Di	Sz6.Sa	Sz7.Au
SiO <sub>2</sub>	51.49	49.40	42.05	47.14	53.20	50.40	48.94
TiO <sub>2</sub>	0.38	0.16	4.13	2.84	-	0.31	1.32
Al <sub>2</sub> O <sub>3</sub>	5.60	1.40	11.59	6.90	3.40	2.39	8.21
Cr <sub>2</sub> O <sub>3</sub>	0.84	-	-	-	1.35	-	0.55
FeO	2.60	18.89	7.57	6.50	2.50	14.66	4.49
MnO	-	2.10	0.18	0.50	0.15	0.50	0.07
MgO	15.70	6.12	10.35	12.60	17.60	7.90	14.55
CaO	20.98	19.26	22.60	23.12	21.20	21.99	21.35
Na <sub>2</sub> O	1.30	1.10	0.92	0.62	0.58	1.08	0.82
Total	98.89	97.43	99.39	100.22	99.98	99.23	100.3
Si	1.85	1.93	1.58	1.78	1.92	1.94	1.78
Ti	0.02	-	0.12	0.08	-	0.01	0.04
Al	0.25	0.07	0.51	0.31	0.15	0.11	0.35
Cr	0.03	-	-	-	0.04	-	0.02
Fe <sup>3+</sup>	0.04	0.11	0.13	0.07	0.02	0.04	0.06
Fe <sup>2+</sup>	0.04	0.54	0.11	0.16	0.05	0.43	0.08
Mn	-	0.07	0.01	0.03	-	0.02	-
Mg	0.85	0.30	0.58	0.69	0.95	0.45	0.79
Ca	0.75	0.79	0.91	0.91	0.84	0.91	0.83
Na	0.10	0.09	0.04	0.04	0.07	0.08	0.06
Mg-num	0.91	0.40	0.70	0.76	0.93	0.48	0.85



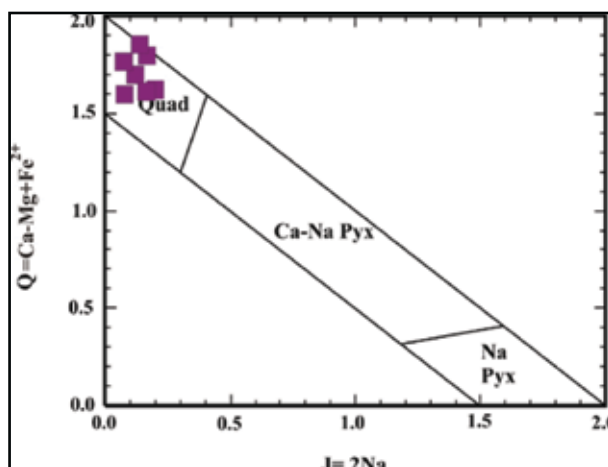
شکل ۲- تصاویری از همیری توده نفوذی در منطقه مورد مطالعه. الف) نمایی دور از همیری ب) همیری از فاصله نزدیک‌تر (دید به باخت).



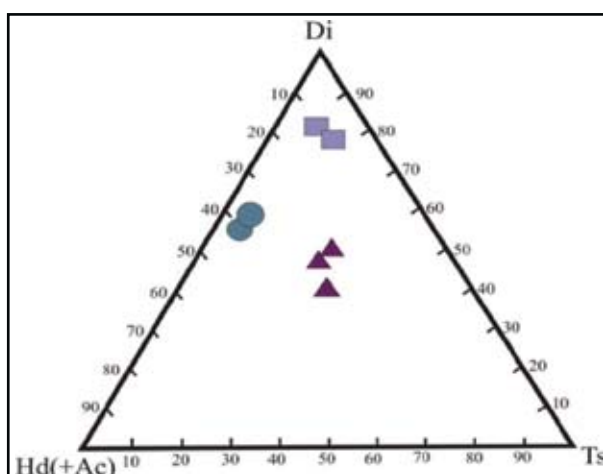
شکل ۳- نمایی از یک دایک آندزیتی در سنگ‌های دیوریتی باخت روستای حسن‌آباد (دید به باخت).



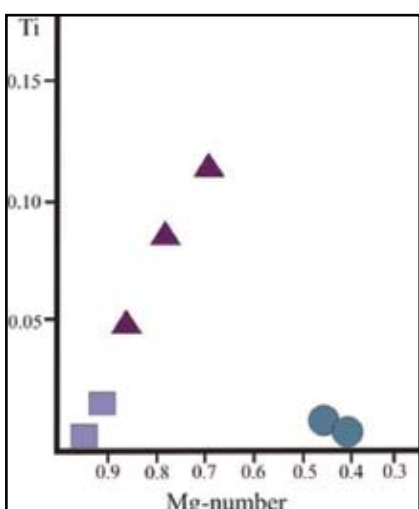
شکل ۴- a- c) تصاویر میکروسکوپ نوری تعدادی از درشت‌بلورهای پیروکسین زوینینگدار در دایک‌های آندزیتی باخت و شمال باخت روستای حسن‌آباد. b) بلور مطالعه شده در این نوشتاب، دواز سیاه نشان‌دهنده مکان تجزیه‌ها است. d) پیروکسین‌های زمینه که از لحاظ ترکیبی مشابه حاشیه‌های درشت‌بلورهای پیروکسین زوینینگدار است در اینجا آشکارا قابل دیدن هستند.



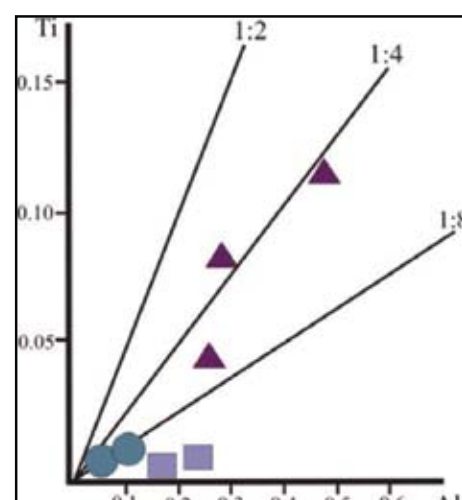
شکل ۵- ترکیب کلی کلینوپیروکسن‌های دایک‌های منطقه مورد مطالعه در نمودار  $J$ - $Q$  (Morimoto et al., 1988)، بدون تفکیک نوع آنها بر اساس نتایج تجزیه الکترون میکروپروروب از بلور پیروکسن مربوط به شکل ۴-*b*.



شکل ۶-نمایش ترکیبات کلینوپیروکسن بلور مورد نظر در دایک آندزیتی باختر روسنای حسن‌آباد توسط نمودار سه‌تایی  $Di$ - $Hd(+Ac)$ - $Ts$  (Huckenholz et al., 1974) است (CaTs+FATs+TiTS molecule). مریع: دیپسید کروم‌دار. دایره: سالیت-فروسالیت. مثلث: تیتان‌اوزیت.



شکل ۷- نمایش  $Ti$  در برابر مقدار منیزیم کلینوپیروکسن بلور مورد نظر در دایک آندزیتی باختر روسنای حسن‌آباد. نمادها مشابه شکل ۶ است.



شکل ۷- تغییرات  $Ti$  و  $Al$  کلینوپیروکسن بلور مورد نظر در دایک آندزیتی باختر روسنای حسن‌آباد. نمادها مشابه شکل ۶ است.

**کتابخانه**

دھقان منشادی، ب.، ۱۳۷۹- مطالعه پترولوجی و ژئوشیمی ماگماتیسم و دگرگونی منطقه دره زرشک - توران پشت، جنوب غربی یزد. رساله کارشناسی ارشد دانشگاه تهران.

زنی فر، س.، ۱۳۸۷- بررسی کانی‌شناسی دگرگونی مجاورتی توده‌نفوذی روستای حسن‌آباد یزد (جنوب‌غرب تفت). رساله کارشناسی ارشد دانشگاه تهران.

**References**

- Atherton, M. P. & Edmunds, W. M., 1966- A electron microprobe study of some zoned garnets from metamorphic rocks, *Earth Planet. Sci. Lett.*, 185-193.
- Barton, M., Varekamp, J. C. & Bergen, V. M. J., 1982- Complex zoning of clinopyroxenes in the lavas of Vulcini, Latium, Italy: evidence for magma mixing, *J. Volcanol. Geotherm. Res.*, 14: 361-388
- Berberian, M. & King, G. C. P., 1981- Towards a paleogeography and tectonic evolution of Iran, *Canadian Journal of Earth Sciences*, 18: 210-265.
- Brooks, C. K. & Rucklidge, J. C., 1973- A tertiary lamprophyre dyke with high pressure xenoliths and megacrysts from Wiedemanns Fjord, East Greenland, *Contrib. Mineral. Petrol.*, 42: 197-212
- Brooks, C. K. & Printzlau, I., 1978- Magma mixing in mafic alkaline volcanic rocks: the evidence from relict phenocryst phases and other inclusions, *J. Volcanol. Geotherm. Res.*, 4: 315-331
- Chinner, G. A., 1962- Almandine in thermal aureoles, *J. Petrol.* 3: 316-340.
- Dessai, A. G., Rock, N. M. S., Griffin, B. J. & Gupta, D., 1990- Mineralogy and petrology of some xenolith-bearing alkaline dykes associated with Deccan magmatism, south of Bombay, India, *Eur. J. Mineral.*, 2: 667-685
- Dobosi, G., 1986- Chemistry of clinopyroxenes from the Lower Cretaceous alkaline volcanic rocks of the Mecsek Mountains, south Hungary, *N. Jb. Mineral. Abh.*, 156: 281-301
- Downes, H., 1989- Magma mixing in undersaturated alkaline volcanics, Cantal, Massif Central, France, *Mineral. Mag.*, 53: 43-53
- Duda, A. & Schminke, H. U., 1985- Polybaric differentiation of alkali basaltic magmas: evidence from green-core clinopyroxenes (Eifel, FRG), *Contrib. Mineral. Petrol.*, 91: 340-353
- Gamble, R. P. & Taylor, L. A., 1980- Crystal/liquid partitioning in augites: effects of cooling rate, *Earth Planet Sci. Lett.*, 47: 21-33
- Huckenholz, H. G., Lindhuber, W. & Springer, J., 1974- The join Ca- SiO<sub>3</sub> - AlzO<sub>3</sub>- Fe2O<sub>3</sub> of the CaO - A12O<sub>3</sub> - F%O<sub>3</sub> - SiO<sub>2</sub> quaternary system and its bearing on the formation of granditic garnets and fassaitic pyroxenes, *N. Jb. Mineral. Abh.*, 121: 60-207
- Jankovic, S., 1984- Metallogeny of the Alpine granitoids in the Tethyan-Eurasian metallogenic belt, in Proceedings of the 27th International Geological Congress, Moscow, August 4-14, 12: Utrecht, Netherlands, VNU Science Press, 247-273.
- Kouehi, A., Sugawara, Y., Kashima, K. & Sunagawa, I., 1983- Laboratory growth of sector zoned clinopyroxenes in the system CaMgSiO<sub>6</sub>- CaTiAl<sub>2</sub>O<sub>6</sub>, *Contrib. Mineral. Petrol.*, 83: 177-184
- Larsen, L. M., 1981- Sector zoned aegirine from the Ilmaussaq alkaline intrusion, south Greenland *Contrib. Mineral. Petrol.*, 76: 285-291
- Liotard, J. M., Briot, D. & Brivin, P., 1988- Petrological and geochemical relationships between pyroxene megacrysts and associated alkali basalts from the Massif Centrale (France), *Contrib. Mineral. Petrol.*, 98: 81-90
- Lloyd, F. E., 1981- Upper-mantle metasomatism beneath a continental rift: clinopyroxenes in alkali mafic lavas and nodules from South West Uganda, *Mineral. Mag.*, 44: 315-323
- Morimoto, N., Fabries, J., Ferguson, A. K., Ginzburg, I. V., Ross, M., Seifert, F. A., Zussman, J., Akoi, K. & Gottardi, G., 1988- Nomenclature of pyroxenes, *Mineral. Mag.*, 65: 1-28.
- Onuma, K., Akasaka, M. & Yagi, K., 1981- The bearing of the system CaMgSi<sub>2</sub>O<sub>6</sub>-CaAl<sub>2</sub>SiO<sub>6</sub>-CaFeAlSiO<sub>6</sub> on fassaitic pyroxene, *Lithos*, 14: 173-182
- Segalstad, T. V., 1979- Petrology of the Skien basaltic rocks, southwestern Oslo Region, Norway, *Lithos*, 12: 221-239
- Tracy, R. J. & Robinson, N. P., 1977- Zoned titanium augite in alkali olivine basalt from Tahiti and the nature of titanium substitution in augite, *Amer. Mineral.*, 62: 634-645
- Tyler, R. C. & King, B. C., 1967- The pyroxenes of the alkaline igneous complexes of eastern Uganda, *Mineral. Mag.*, 36: 5-21
- Wass, S. Y., 1973- The origin and petrogenetic significance of hourglass zoning in titaniferous clinopyroxenes, *Mineral. Mag.*, 39: 133-144
- Wass, S. Y., 1979- Multiple origins of clinopyroxenes in alkali basaltic rocks, *Lithos* 12: 115-132
- Zaravandi, A. & Liaghat, S., 2005- Geology of the Darreh-Zereshk and Ali-Abad Porphyry Copper Deposits, Central Iran, *International Geology Review*, 47: 620-646

## Origin of Zoned Pyroxene in the Daykes of Sub Alkali Andesite of Hassan-Abad Village of Yazd- South-West of Taft

S. Zandifar<sup>1\*</sup>, M. V. Valizadeh<sup>1</sup>, M. A. Barghi<sup>1</sup> & M.R. Foroodijahromi<sup>2</sup>

<sup>1</sup>School of Geology, University College of Science, University of Tehran, Tehran, Iran.

<sup>2</sup> Departement of Geology, Islamic Azad University, Science and Research Campus, Tehran, Iran

Received: 2008 November 05 Accepted: 2009 June 27

### Abstract

In the west and north west of Hassan-Abaad village of Yazd, massive dikes of alkali andesite in the diorite, quartz diorite and granodiorite are observed. Clinopyroxene phenocrysts in these rocks have obvious zoning. Reconnaissance work indicates that groundmass pyroxenes in the alkaline rocks are similar to the more evolved phenocryst rims. Obtained data from core to rim of Clinopyroxene phenocrysts by SEM point analysis, show that Clinopyroxene composition, contains Chrome-diopsides, Salites-ferosalites and Titanaugite. Clinopyroxene zoning formed during crystal growth. These pyroxenes are believed to record an intricate history of stop-start differentiation, magma-mixing, entry or disappearance of high-pressure precipitates. The salitic and ferrosalitic crystals of the Hassan-Abaad andesite also represent accidental fragments of anomalous upper mantle wall rocks.

**Keywords:** Clinopyroxen, Andesite daykes, Zoning, Hassan-Abaad

For Persian Version see pages 151 to 156

\*Corresponding author: S. Zandifar; E-mail: tec1319\_sh@yahoo.com

## Studying Yazd Subsidence Using InSAR and Precise Leveling

M. Amighpey<sup>1\*</sup>, S. Arabi<sup>1</sup> & A. Talebi<sup>1</sup>

<sup>1</sup>National Cartographic Center of Iran, Tehran, Iran.

Received: 2009 March 04 Accepted: 2009 July 21

### Abstract

Blemish of subsidence and land ruptures such as destroying aquifer systems, damaging structures and disordering water main, are usually irreparable and expensive. One of the regions with a high rate subsidence in Iran is the Yazd-Ardakan plain that subsides with a maximum rate of 12 cm per year based on levelling and InSAR observation. It is obvious that such a high rate subsidence is the result of water extra exploiting and groundwater levels at piezometric wells confirm this in the region. Management of water drafting in this region is a necessary work in this region.

**Key words:** InSAR, Subsidence, Leveling, Yazd-Ardakan plain, Aquifer.

For Persian Version see pages 157 to 168

\* Corresponding author: M. Amighpey; E-mail: amighpey@yahoo.com